

Effects of fast pathway ablation on the concealment zone and electrophysiological behavior of AV node during atrial fibrillation

Aref Salehi¹, Vahid Khori^{1*}, Nayebpour M.², Rakhshan. E.³

1. Golestan Cardiovascular Research Center, Golestan University of Medical Sciences, Gorgan, Iran

2. Dept. of pharmacology, Tehran University of Medical Sciences, Tehran, Iran

3. Golestan Cardiovascular Research Center, Golestan University of Medical Sciences, Gorgan, Iran

Received: 29 Aug 2008

Revised: 13 April 2009

Accepted: 15 April 2009

Abstract

Introduction: Dual pathways have a crucial role in causing atrio nodal tachyarrhythmias (AVNRT). The aim of the present study was to determine the role of slow pathway (SP) in the concealment zone and also the protective role of AV node during atrial fibrillation (AF).

Methods: In 7 isolated nodal rabbit preparations, zones of concealment and concealed conduction were determined by specific pacing protocols. The differences between effective refractory period of atrial and AV node in the basic cycle length and after introducing concealed beat was considered as the zone of concealment. AF was simulated by high-rate atrial pacing with random coupling intervals. Small miniature lesions were made in superior compact node by delivering constant voltage 100-110 v.

Results: Fast pathway (FP) ablation resulted in longer minimum nodal conduction time, but did not induce any change in nodal effective and functional refractory period. Zone of concealment was determined as 10 ± 4.8 ms. After fast pathway modification, nodal characteristics during AF, including average H-H intervals, number of concealed beats and zone of concealment did not change significantly.

Conclusion: Fast pathway has not a determinant role in the mechanism of concealed conduction and zone of concealment. Our findings indicate that during AF, the wave fronts did not use fast pathway to conduct to ventricles.

Keywords: Ablation, Atrial fibrillation, AV node, Concealment Zone.

* Corresponding author e-mail: vaph99@yahoo.com
Available online @: www.phypha.ir/ppj

بررسی اثرات سوزاندن مسیر سریع گره دهليزی بطنی بر روی ناحیه پنهان و الگوی رفتاری الکتروفیزیولوژیک گره دهليزی بطنی در طول فيبريلاسيون دهليزی

عارف صالحی^۱، وحید خوری^{۱*}، محسن نایبپور^۲، الناز رخشان^۳

۱. مرکز تحقیقات قلب و عروق گلستان، دانشکده پزشکی فلسفی، دانشگاه علوم پزشکی گلستان، گرگان، ایران

۲. گروه فارماکولوژی، دانشکده داروسازی تهران، دانشگاه علوم پزشکی تهران، تهران، ایران

۳. مرکز تحقیقات قلب و عروق گلستان، دانشکده پزشکی فلسفی، دانشگاه علوم پزشکی گلستان، گرگان، ایران

دریافت: ۷ شهریور ۱۳۸۷ بازبینی: ۲۶ فروردین ۱۳۸۸ پذیرش: ۲۶ فروردین ۱۳۸۸

چکیده

مقدمه: مسیرهای دوگانه گره دهليزی-بطنی نقش تعیین کنندهای در بروز ارتیتمی‌های چرخشی گرهای دارند. هدف تحقیق حاضر تعیین نقش مسیر آهسته در هدایت پنهان و در مکانیسم محافظتی گره دهليزی بطئی در طول فيبريلاسيون دهليزی می‌باشد.

روش‌ها: در ۷ گستره گرهای جدا شده خرگوش ناحیه پنهان و هدایت پنهان با استفاده از پروتکلهای اختصاصی مشخص گردید. تفاوت‌های بین زمان تحریک‌ناپذیری گرهای دهليزی در ضربانات سینوسی و بعد از اعمال ضربه پنهان به عنوان ضربه پنهان در نظر گرفته شد. فيبريلاسيون دهليزی توسط تحریکات تصادفی نواحی بالای دهليزی شیوه سازی شد. ضایعات سوختگی بسیار ظریف با استفاده از لولاز ۱۱۰-۱۰۰ (ولت) در نواحی فوقانی سلول‌های فشرده ایجاد شد.

یافته‌ها: سوزاندن مسیر سریع سبب افزایش زمان هدایت حداقل شده ولی روی زمان تحریک‌ناپذیری موثر و کارکردی تاثیری نداشت. ناحیه پنهان $10 \pm 4/8$ میلی ثانیه محاسبه شد. بعد از سوزاندن مسیر سریع شاخص‌های گرهای در طول فيبريلاسيون دهليزی (میانگین H-H، ناحیه پنهان و هدایت پنهان) تغییر معنی داری پیدا نکرد.

نتیجه‌گیری: مسیر سریع نقش تعیین کنندهای در مکانیسم تشکیل هدایت پنهان و ناحیه پنهان ندارد. در طول فيبريلاسيون دهليزی امواج از مسیر سریع جهت رسیدن به بطنه استفاده نمی‌کنند.

واژه‌های کلیدی: سوزاندن، فيبريلاسيون دهليزی، گره دهليزی-بطنی، ناحیه پنهان.

مقدمه

ناشناخته محققین را تشویق به انجام مطالعات جهت کشف اسرار ناشناخته این گره می‌کند [۸]. جواب بطئی نامنظم در طی فيبريلاسيون دهليزی در سرعتی کمتر از ضربانات الکتریکی تولید شده توسط دهليزها ایجاد می‌شود. این جواب آهسته می‌تواند توسط پدیده هدایت پنهان و الگوی تحریک ناپذیری در گره دهليزی بطئی توضیح داده شود [۸]. واژه هدایت پنهان توسط آقای لانگهندرف به مطالعات الکتروکاردیوگرافی وارد و در سال ۱۹۶۵ نقش هدایت پنهان در مکانیسم کاهش ضربانات

گره دهليزی بطئی یک قرن بعد از کشف توسط آقای تاوارا هنوز مانند یک جعبه سیاه دارای اسرار زیادی می‌باشد. نقش حیاتی این گره در کنترل فيبريلاسيون دهليزی با مکانیسم

vaph99@yahoo.com
www.phypha.ir/ppj

* نویسنده مسئول مکاتبات:
وبگاه مجله:

مواد و روش‌ها

مطالعه از نوع تجربی (Experimental) و بصورت مطالعه قبل و بعد می‌باشد. اصول اخلاقی کار با حیوانات آزمایشگاهی زیر نظر کمیته اخلاق در پزشکی معاونت پژوهشی دانشگاه علوم پزشکی گلستان انجام گرفت. جهت بدست آوردن و آنالیز داده‌ها از کامپیوتر و نرم افزار استفاده می‌شود و سوگرایی محقق در جمع آوری داده‌ها وجود ندارد. در آزمایش‌های انجام شده از خرگوش‌های نر در محدوده وزنی $1/5$ تا 2 کیلوگرم استفاده شد که با هپارین (5 mg/kg/IV) و پنتوباربیتال سدیم (35 mg/kg/IV) پیش درمانی شده و پس از بی‌هوش شدن توسط ضربه‌ای به پشت سر کشته می‌شوند و بعد از باز کردن قفسه سینه قلب جدا شده و گستره بافتی شامل دهیز راست نواحی گره دهیزی – بطنی و سپتوم بین بطنی را از آن جدا کرده و به کمک سوزن‌هایی بر روی یک توری داخل تیروود در مدار داخلی ثابت کرده و توسط محلول تیروود به طور پیوسته با سرعت 200 میلی لیتر در دقیقه آنرا تغذیه می‌کنیم. توسط الکترود تک قطبی از نواحی گره سینوسی – دهیزی، سپتوم دهیزی، کریستا ترمینالیس و دسته هیس ثبت گرفته، سرعت ضربانات پایه قلب را مشخص کرده و سپس به کمک الکترود تحریکی که در کریستاترمینالیس در دهیز راست قرار می‌گیرد، قلب را با سرعتی بالاتر از سرعت پایه بر ضربانات قلب تحریک کرده و پروتکلهای تحریکی را بعد از تطبیق قلب با محیط جدید (حداقل یک ساعت) در عدم حضور و در حضور مداخله سوزاندن تکرار کرده و نتایج را با هم مقایسه می‌کنیم. محتوای محلول بر حسب میلی مولار در لیتر شامل مواد ذیل می‌باشد که از شرکت sigma آلمان تهیه گردیده است:

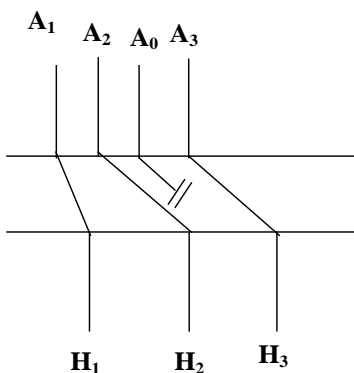
NaCl(128), KCl(4.7), CaCl₂(2), MgCl₂(1), NaHCO₃(25), NaH₂Po₄(0.7), Dextrose(11.1).

ابزار مورد استفاده آمپی فایر ۸ کanal، دستگاه آب مقطر دوبار تقطیر، ایزولاتور و واحد ثابت نگهدارنده ولتاژ، پمپ پریستالیتک، برد A/D هشت کanalه با فرکانس نمونه برداری 5 KHz الکترود از جنس نقره با پوشش تفلون با ضخامت 0.25 میلی متر، ترمومترات برای تنظیم درجه حرارت مدار داخلی با دقت ± 0.5 درجه سانتیگراد، ترازوی دیجیتال با دقت 0.1 ± 0.01 میلی گرم، ترازوی با دقت 0.01 ± 0.01 میلیگرم، کامپیوتر پنتیوم ۴ IB M

بطنی در طول فیبریلاسیون دهیزی نشان داده شد [۴]. هدایت پنهان به عنوان مهمترین شاخص رفتار بطن‌ها در طی فیبریلاسیون دهیزی می‌باشد [۴,۷]. شواهد مختلفی بیانگر نقش هدایت پنهان و ناحیه پنهان در پیش بینی سرعت ضربانات بطنی در طول فیبریلاسیون دهیزی می‌باشد. مکانیسم سلولی هدایت پنهان هنوز شناخته شده نیست. همچنین سوبسترای آناتومیک این پدیده و ارتباط آن با مدل مسیرهای دوتایی در گره دهیزی بطنی نامشخص است.

گره دهیزی بطنی به عنوان مرکز تنظیم تأخیر در هدایت ایمپالس شامل دو مسیر اصلی می‌باشد. مسیر سریع از سلول‌های ترانزیشنال قسمت قدامی Compact Node تشکیل می‌شود. در صورتی که مسیر احتمالاً شامل سلول‌های ترانزیشنال قسمت خلفی Compact Node و یا انشعاب خلفی گره (PNE) می‌باشد [۱۰,۲]. مسیر سریع در سرعت‌های احتماله ضربانات دهیزی مسئول هدایت امواج می‌باشد و در ضربانات سریع، بعد از انسداد مسیر سریع، مسیر آهسته عهده‌دار هدایت امواج می‌شود. تاکنون ارتباط بین مسیرهای فوق و رفتار دینامیک گره دهیزی بطنی در طول وقوع آریتمی‌های فوق بطنی ناشناخته باقی مانده است. در مطالعات مختلف پایه و بالینی نقش مسیر آهسته در تعیین ضربانات بطن‌ها و در هدایت پنهان مطالعه شده است مطالعات فوق بیانگر آن است که سوزاندن مسیر آهسته سبب آهسته‌تر شدن ضربانات بطن‌ها و افزایش ناحیه پنهان می‌شود ولی مکانیسم ایجاد هدایت پنهان در مسیر آهسته پدید نمی‌آید، [۶,۴,۳,۱۲]. با توجه به این تنافق آشکار در ارتباط با جواب به این سوال که کدام مسیر در ایجاد هدایت پنهان نقش دارد در یک تحقیق جداگانه در سال ۲۰۰۶ نقش مسیر آهسته در مکانیسم هدایت پنهان در خرگوش مورد بررسی قرار گرفت و نشان داده شد که این مسیر در مکانیسم هدایت پنهان نقشی ندارد [۱۲] بنابراین طراحی تحقیقی که بتواند توسط سوزاندن مسیر سریع نقش این مسیر را در مکانیسم ایجاد هدایت پنهان بررسی کند می‌تواند نقش مهمی در فهم مکانیسم این پدیده در طول آریتمی‌های فوق بطنی داشته باشد. بنابراین تحقیق حاضر با هدف مشخص نمودن نقش مسیر آهسته در هدایت پنهان و در مکانیسم محافظتی گره دهیزی یطنی در طول فیبریلاسیون دهیزی طراحی شد.

A: آخرین ضربه پایه



A3: ضربه شرطی

A0: ضربه پنهان

A2: ضربه آزمایشی

Compatible بودند.

تعريف پروتکل‌های تحریکی بطور مختصر عبارتند از: پروتکل تحریکی کمپلکس WBCL: بنا به تعریف به بلوک درجه دوم دهیزی - گره‌ای ناشی از افزایش در سرعت تحریک دهیزها اطلاق شده و شروع بلوک بعنوان زمان WBCL ثبت می‌شود.

پروتکل تحریکی منفرد ریکاوری: در طی این پروتکل بعد از ۱۰ تحریک پایه (BCL)، یک تحریک تاخیری (Premature) به بافت اعمال شده و پاسخ آخرین تحریک پایه نسبت به تحریک تاخیری به صورت فاصله A2H2 (زمان هدایت) علیه (فاصله دو تحریک متوالی) رسم می‌شود.

مطابق تعریف زیر پارامترهای زمان تحریک ناپذیری موثر (AVERP) و زمان تحریک ناپذیری کارکردی (AVFRP) از پروتکل فوق قابل استخراج می‌باشد:

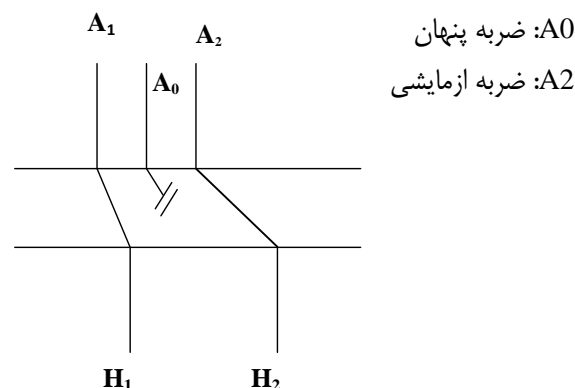
زمان تحریک ناپذیری موثر: طولانی ترین فاصله دو ثبت متوالی از دهیزها (A1 A2) قبل از آنکه به بلوک دهیزی - گره‌ای بررسیم.

زمان تحریک ناپذیری کارکردی: کوتاهترین فاصله دو ثبت متوالی از هیس (H1 H2) که در طی یک پروتکل تحریکی بدست می‌اید.

هدایت پنهان در این تحقیق به دو روش اندازگیری می‌شود:

(۱) با استفاده از پروتکل ریکاوری ناحیه پنهان بصورت تفاصل بین زمان تحریک ناپذیری گره‌ای و دهیزی مشخص گردید. سپس منحنی هدایت پنهان با استفاده از اعمال ضربه پنهان قبل از ضربه آزمایشی ایجاد شد.

A: آخرین ضربه پایه



A0: ضربه پنهان

A2: ضربه آزمایشی

سپس جهت بررسی اثرات ضربه شرطی، پروتکل تحریکی با استفاده از ضربه شرطی به صورت ذیل بکار برد شد.

سپس منحنی پنهان از طریق رسم هدایت بیت پنهان در مقابل زمان دو تحریک متوالی دهیزی (A1 A2، A0 A2) (A1 A2) رسم شد.

(۲) استفاده از سرعت‌های مختلف جهت تعیین ناحیه پنهان: اثرات ضربانات شرطی بر روی ناحیه پنهان توسط یک پروتکل جداگانه به این ترتیب بررسی شد که پروتکل ریکاوری به چند سرعت پایه متفاوت (۱۸۰-۳۰۰) انجام شد و در هر بار ناحیه پنهان از طریق تفاصل بین زمان تحریک ناپذیری دهیزی و زمان تحریک ناپذیری گره‌ای مشخص گردید.

فیریالاسیون دهیزی (AF): از پروتکل تحریک تصادفی با سرعت بالا (توسط نرم افزار نوشته شده در محیط ویندوز با استفاده از زبان Visual Basic) استفاده شده که مالکیت معنوی این نرم افزار متعلق به مرکز تحقیقات قلب و عروق گلستان می‌باشد) جهت ایجاد فیریالاسیون دهیزی استفاده شد. حداقل وحداکثر فاصله بین تحریکات ۷۵ تا ۱۲۵ میلی ثانیه و کل زمان اجرای پروتکل فیریالاسیون دهیزی ۱۵۰۰ ضربه (حدود ۵ دقیقه) بود. جهت اطمینان از صحت ایجاد آریتمی فاصله بین ضربانات و فاصله بین دو ثبت متوالی از دسته هیس در دو پروتکل جداگانه و پشت سرهم اندازه‌گیری شد که تفاوت بین دو پروتکل تحریکی اجرا شده بیش از ۳ میلی ثانیه نبود.

برای سوزاندن زانده قدامی گره دهیزی - بطنی (مسیر سریع): جهت تشخیص مسیر قدامی گره دهیزی - بطنی از شاخص‌های آناتومیک و الکتروفیزیولوژیک استفاده شد. شاخص‌های آناتومیک در حد فاصل قسمت پایینی تاندون تودارو و قسمت قدامی سلول‌های فشرده در ۱/۳ ابتدایی مثلث کنخ به عنوان ناحیه با بیشترین احتمال وجود مسیر سریع انتخاب گردید و سپس ضایعاتی با استفاده از ولتاژ ۱۰۰ تا ۱۱۰

جدول ۱- اثرات سوزاندن مسیر سریع بر روی هدایت پنهان با استفاده از سرعت‌های مختلف ($N=7$) با افزایش ضربانات پایه قلبی ناحیه پنهان افزایش می‌یابد.

Zone of Concealment (msec)				
(AA-AH)	CL Short (180-160)	CL Intermediate (230-200)	CL Long (300-280)	
$10 \pm 4/8$	$41/7 \pm 12/1$	$31/2 \pm 13/2$	$25/2 \pm 9/7$	قبل از سوزاندن
$8/9 \pm 3$	$52/5 \pm 13/6$	$33/2 \pm 12/2$	$26/5 \pm 9/2$	بعد از سوزاندن

CL: ضربانات پایه قلبی. (AA): فاصله بین زمان تحریک ناپذیری دهليزی (AA) و تحریک ناپذیری گرهای (AH). تست آماری مورد استفاده:

Paired t-test two-tail p value

تست آنالیز واریانس دو طرفه انجام گرفت $P<0.05$ به عنوان معنی دار و کلیه آزمون‌ها بصورت دو طرفه ارزیابی گردید. نرم افزار استفاده شده جهت نمایش نمودارها Graph pad in Stat spss صورت بود و سایر تجزیه و تحلیل‌ها توسط نرم افزار spss صورت گرفت.

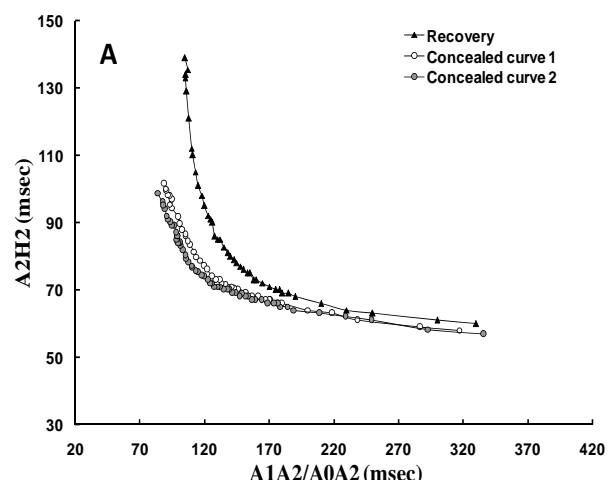
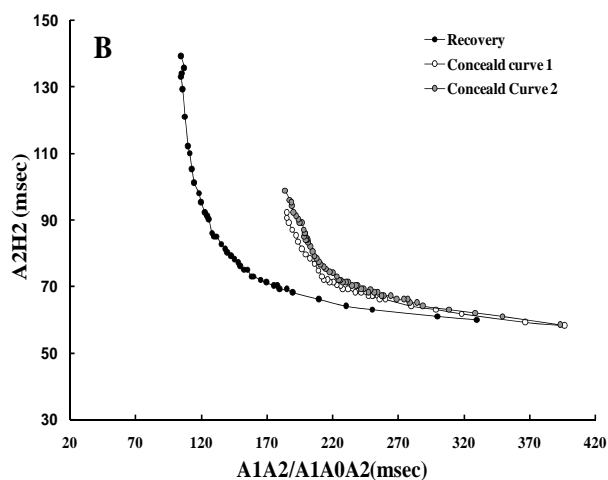
یافته‌ها

همان طور که در شکل 1A می‌بینیم ضربه پنهان سبب انتقال به سمت پایین و چپ منحنی ریکاوری می‌شود و این انتقال ارتباطی با سرعت ضربه ندارد و همچنین قسمت با شیب تند منحنی حذف می‌شود. در واقع می‌توان اثرات ضربانات پنهان را مانند سوزاندن مسیر اهسته دانست.

همان طور که در شکل 1B دیده می‌شود در صورت تغییر محور افقی از A1A2 به A0A2 (یعنی در نظر نگرفتن ضربه

ولت به مدت ۳۰ ثانیه ایجاد شد و با استفاده از تغییرات الکتروفیزیولوژیک در منحنی ریکاوری که تقریباً ۱۵ دقیقه بعد از ایجاد هر ضایعه رسم گردید کارایی سوزاندن مورد بررسی قرار گرفت، تعداد سوزاندن توسط روش آزمون و خطأ مشخص گردید و آنقدر ادامه پیدا کرد که یک افزایش هدایت زیاد در قسمت صاف منحنی ریکاوری بدون تاثیر در قسمت با شیب تند ایجاد شود. متوسط تعداد سوزاندن در مسیر سریع $\pm 0/5$ $\pm 3/2$ برای حذف کامل انتقال در مسیر سریع مورد نیاز بود. تایید نهایی سوزاندن توسط متدهای رنگ آمیزی سلول‌های فشرده و سلول‌های ترانزیشنال قسمت قدامی گره دهليزی - بطنی مشخص گردید.

نرمال بودن داده‌ها توسط تست KS (کروموجروف-اسپیرونوف) انجام شد و سپس مقایسه بین میانگین دو گروه با تست تی زوج (Paired t-test) انجام شد. کلیه داده‌ها به صورت گزارش شد و مقایسه بین چند گروه به وسیله Mean \pm SE



شکل ۱- اثر ضربه پنهان به صورت سهیل در منحنی ریکاوری CC: پروتکل ضربه شرطی A0A2: زمان ریکاوری (ضربه پنهان تا آخرین ضربه پایه) A1A2 : زمان ریکاوری A2H2: زمان هدایت گرهای منحنی هدایت پنهان با دومعيار متفاوت با در نظر گرفتن ضربه پنهان (A1A2) و بدون در نظر گرفتن نقش ضربه پنهان (A0A2) همانطور که در شکل می‌بینیم منحنی در شکل A به سمت پایین و در شکل B به سمت بالا انتقال پیدا کرد.

جدول ۲- اثرات سوزاندن مسیر سریع بر روی فیبریلاسیون دهلیزی شبیه‌سازی شده (N=۷)

FRP (AF)	ERP (AF)	ضربات پنهان	میانگین فاصله (msec) H-H	
۱۳۶/۳±۶/۴	۷۴/۴±۳/۷	۶۸۸/۱±۷۲	۲۱۹/۸±۱۷	قبل از سوزاندن
۱۳۲/۵±۷/۶	۷۰/۷±۶/۳	۷۴۶±۵۶	۲۳۴/۷±۱۵/۱	بعد از سوزاندن

میانگین فاصله H-H: میانگین فاصله دو ثبت متوالی از دسته هیس. تعداد ضربات پنهان: تعداد ضربات دسته هیس که در طول یک پروتکل AF حذف می‌شود.

Paired t-test two-tail p value: AFFRP: Functional Refractory Period . AF ERP: Effective Refractory period

همانطور که در شکل ۲ می‌بینیم در حالت کنترل و با استفاده از ضربه پنهان (منحنی پنهان) افزایش غیرمعنی دار در ناحیه پنهان مشاهده شد. سوزاندن زائد قدامی گره دهلیزی بطنی (مسیر سریع) سبب افزایش غیر معنی دار ناحیه پنهان شد (جدول ۱) ولی تغییری در الگوی هدایت پنهان قبل و بعد از سوزاندن ایجاد نشد (شکل ۳).

تأثیر سوزاندن مسیر سریع بر روی فیبریلاسیون دهلیزی در ۷ خرگوش مورد بررسی قرار گرفت که نتیجه آزمایشات سبب افزایش غیرمعنی دار تعداد حذف گرهای گردید همچنین میانگین دو ثبت متوالی از دسته هیس (H-H) نیازافزایش یافت ولی از نظر آماری معنی دار نبود ($P>0.05$) (جدول ۲ و شکل ۴).

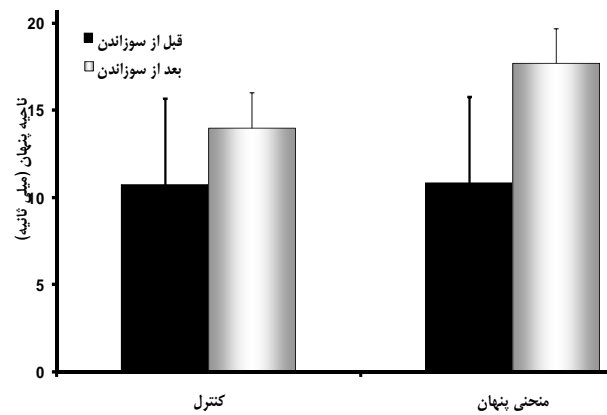
بحث

نتایج تحقیق حاصل می‌تواند بیانگر رابطه بین ناحیه پنهان و هدایت پنهان و مسیر اهسته و سریع گره دهلیزی بطنی باشد. نخست نتایج تحقیق نشان میدهد که ضربه شرطی سبب پهن شدن ناحیه پنهان می‌شود. نتیجه دوم تحقیق حاضر را میتوان اثرات ضربات پنهان در شیفت به سمت بالا و راست منحنی هدایتی گره و افزایش ERP و FRP دانست. سوم این که بعد از سوزاندن مسیر سریع ناحیه پنهان افزایش نیافته و هم چنان شیفت به سمت بالای منحنی ریکاوری گره دیده می‌شود. نتایج سوزاندن مسیر سریع و ایجاد فیبریلاسیون دهلیزی از میشگاهی و مقایسه ان با نتایج تحقیقات مشابه نشان دهنده صحت آزمایشات و اجرای مدل مطابق با اهداف تحقیق است [۱۳، ۱۰، ۵].

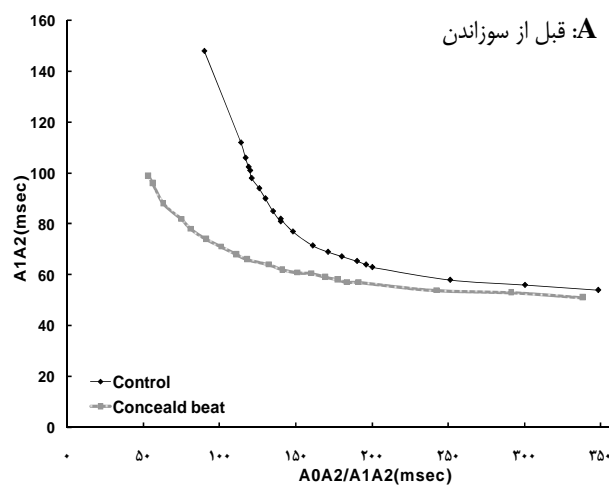
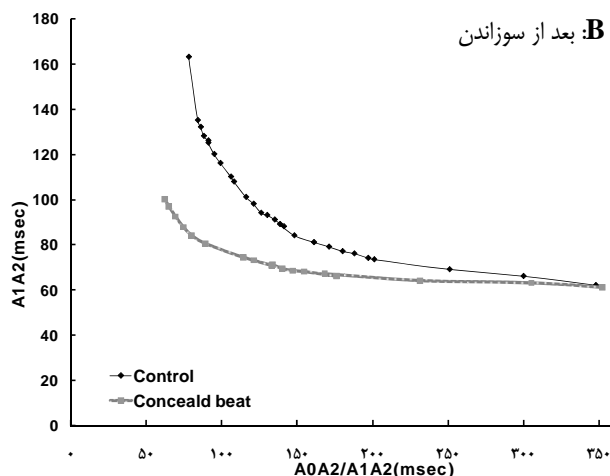
هم چنین اندازه‌گیری ناحیه پنهان در مطالعه حاضر نشان داد که میزان به دست امده در مورد این ناحیه در خرگوش با مطالعه

پنهان) منحنی به سمت بالا منتقل شده و قسمت با شیب تند ان بریده می‌شود و از بین می‌رود. ضربه پنهان هیچ تاثیری بر روی افزایش ناحیه پنهان نداشت بصورتیکه ناحیه پنهان در حالت کنترل برابر با $۱۰/۷±۵$ میلی ثانیه و بعد از قرار دادن ضربه پنهان $۱۰/۸±۶$ میلی ثانیه تغییر یافت که تفاوت غیرمعنی داری بود. ضربه پنهان سبب افزایش معنی دار زمان تحریک ناپذیری کارکردی و موثر گردید. بصورتی که در حالت کنترل ERP از $۹۲/۸±۹$ میلی ثانیه به $۱۴۲±۱۱/۵$ میلی ثانیه در حضور ضربه پنهان افزایش معنی دار یافت ($P<0.002$) و زمان تحریک ناپذیری کارکردی (FRP) در حالت کنترل از $۱۵۴/۵±۵/۲$ به $۱۱۸/۲±۱۴/۱$ افزایش معنی دار یافت ($P<0.05$).

نتایج تحقیق نشان داد که میزان ناحیه پنهان با تند شدن ضربات پایه قلب به صورت معنی داری افزایش یافت و سوزاندن مسیر سریع اگر چه باعث افزایش مختصر ناحیه پنهان می‌شود ولی این افزایش هیچ گاه به حد معنی داری نرسید (جدول ۱).



شکل ۲- بررسی ناحیه پنهان قبل و بعد سوزاندن مسیر سریع. در حالت کنترل و با استفاده از ضربه پنهان (منحنی پنهان) افزایش غیرمعنی دار در ناحیه پنهان مشاهده شد.



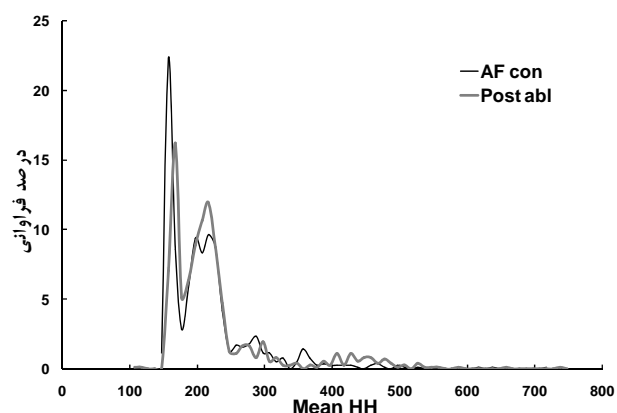
شکل ۳- اثرات سوزاندن مسیر سریع بر الگوی هدایت پنهان همچنان ثابت باقی می‌ماند و انتقال به سمت پایین منحنی هدایت پنهان همچنان دیده شد.

مقیاس محور افقی (منحنی ۱) منحنی به سمت پایین و چپ منتقل می‌شود که به معنی افزایش تحریک پذیری گره می‌باشد. این الگوی متناقض در مطالعه بوجون و بیت در سال ۲۰۰۶ نیز گزارش شده است [۱۲]. این رفتار متناقض میتواند بیانگر اثرات ضربه پنهان در تغییر الگوی تحریک پذیری قسمت پروگزیمال گره دهلیزی بطنی باشد، که در مطالعه آفای لیو به ان اشاره شده است [۶]. سوزاندن مسیر اهسته سبب افزایش معنی‌دار ERP و کاهش AHmax می‌شود [۶]. افزایش ERP بیانگر اثرات ضربه پنهان در مهار انتقال امواج در مسیر اهسته گره می‌باشد و کاهش AHmax بیانگر کاهش سرعت هدایت در مسیر اهسته است. بنابراین در هنگام افزایش سرعت تحریک دهلیزها در نواحی با شبیه تند در منحنی ریکاوری گره ضربه پنهان مانع از هدایت سیگنال در مسیر اهسته شده و میزان AHmax کاهش می‌یابد. نتایج مشابهی در مطالعه آفای لیو و بوجون در سال ۲۰۰۶ و ۲۰۰۴ دیده شده است [۱۲، ۶].

پس به طور خلاصه تعامل منحنی ریکاوری به نسبت‌های مختلف با ضربه پنهان نشان می‌دهد که ضربه پنهان می‌تواند بروی ناحیه انتقالی در سلول‌های ترانزیشنال موثر بوده و سبب کاهش هدایت در مسیر اهسته و افزایش زمان هدایت حداکثر و افزایش ERP در گره دهلیزی بطنی شود و هم چنین دقیقاً به همین علت است که سوزاندن مسیر اهسته و به کار بردن ضربه پنهان و افزایش ناحیه پنهان سبب طولانی شدن فاصله ضربانات بطن‌ها و آهسته شدن ضربانات بطن‌ها در هنگام اریتمی‌های فوق

بوچون در سال ۲۰۰۶ مطابقت دارد [۱۲].

تدخل بین هدایت پنهان و الگوی دو مسیری گره دهلیزی بطنی در مطالعه حاضر دیده شد. هدایت پنهان نه تنها سبب افزایش ERP گره گردید بلکه قسمت با شبیه تند منحنی ریکاوری را از بین برد که این قسمت بیانگر هدایت در مسیر اهسته گره می‌باشد هم چنین ضربه پنهان سبب افزایش ERP گره گردید. همانطور که در منحنی ۲ دیده می‌شود بعد از وارد کردن ضربه پنهان منحنی به سمت بالا منتقل می‌شود که این به معنی افزایش دپرسیون گره می‌باشد. در صورتی که با تغییر



شکل ۴- سوزاندن مسیر سریع سبب می‌شود که پیک هدایت در هدایتهای پایین (مسیر آهسته) کوچکتر شود ولی امواج همچنان در مسیر آهسته منتقل می‌شوند و بیتهای بالای ۲۵۰ میلی ثانیه در مسیر سریع حذف می‌شوند. ولی در نهایت سوزاندن مسیر سریع تاثیر چندانی در میانگین فاصله H-H ایجاد نکرد و الگوی دو قله‌ای هدایت امواج بعد از سوزاندن ثابت بود. میانگین فاصله H-H: میانگین فاصله دو ثبت متوالی از دسته هیس

حالت شود (فیریلاسیون دهلیزی) نقش کلیدی خود را از دست داده و مسیرهای دیگر از جمله مسیر اهسته پنهان و مسیر آهسته هدایتگر امواج به گره دهلیزی بطنی و بطن‌ها می‌شود [۸]. آقای پترسون خواص آستانه تحریک ناپذیری را در مسیر آهسته و سریع مشخص کرده و عنوان نمود که استانه تحریک ناپذیری مسیر سریع و یا ورودی‌های قسمت قدامی سلول‌های فشرده بسیار بالاتر از مسیر آهسته (ورودی قسمت خلفی گره) می‌باشد [۹].

جواب بالینی بطن‌ها در AF مشخصاً به صورت فواصل نامنظم RR ظاهر می‌شود اگرچه دلیل اصلی این آشوب مشخص نیست ولی دو مکانیسم در ایجاد آن موثر است: ۱- پدیده هدایت پنهان و ۲- زمان تحریک ناپذیری گره‌ای [۱۱]. طولانی شدن مسیر R-R با سوزاندن اختصاصی مسیر آهسته در انسان بیانگر نقش مسیر آهسته در جواب بطن‌ها در طول فیریلاسیون دهلیزی است. مطالعات مختلفی در انسان نشان داده است که مسیر آهسته مسیر غالب در کنترل ضربانات بطنی در طول فیریلاسیون دهلیزی است [۲]. در صورتی که سوزاندن مسیر سریع در انسان بندرت منجر به کنترل ضربانات بطن‌ها گردید و در هنگامیکه سرعت ضربانات بطن‌ها کم شد تنها صدمه به سلول‌های فشرده مطرح بود [۲]. نتایج تحقیق حاضر نشان داد که مسیر سریع نقشی در افزایش سرعت ضربانات بطن‌ها در طول فیریلاسیون دهلیزی ندارد و همچنین نقش جزئی در پدیده هدایت پنهان و افزایش ناحیه پنهان دارد. بنا بر این مدل ارائه شده بر اساس تحقیق حاضر بدین ترتیب طراحی می‌شود که: در هنگام ضربانات طبیعی قلب مسیر سریع مسئول هدایت امواج بوده و مسیر آهسته در همان زمان پنهان است. همزمان با افزایش سرعت ضربانات (تک ضربانات) مسیر سریع به حد تحریک ناپذیری خود نزدیک شده و امواج به جای عبور از مسیر سریع از طریق مسیر آهسته به دسته هیس میرسند. در حالیکه در هنگام هجوم تعداد زیادی از ضربانات (تکی اریتمی فوق بطنی) با سرعت‌های به ظاهر پایین مسیر سریع به آستانه تحریک ناپذیری خود رسیده و ضربانات به جای عبور از مسیر سریع از مسیر آهسته پنهان، بینایی و آهسته طی مسیر نموده و به سمت بطن‌ها حرکت می‌کنند. در همین زمان مسیر سریع تنها نقش یک هدایتگر حرکت سیگنال‌ها بصورت معکوس را بازی کرده که برخورد این ضربانات با ضربانات در

بطنی می‌شود [۱۱]. در ارتباط با اثرات ضربه پنهان بر روی مسیر سریع مطابق با شکل ۱ و ۴ ضربه پنهان سبب افزایش زمان تحریک ناپذیری کارکردی و بدون تاثیر بر روی زمان هدایت حداقل می‌شود. این به این معناست که ضربه پنهان تاثیر چندانی بر روی مسیر سریع نداشته و افزایش FRP می‌تواند تنها به علت تاثیر این ضربه بر روی سلول‌های فشرده باشد. ضربه پنهان تاثیر کمی بر روی هدایت مسیر سریع از خود نشان می‌دهد.

سوزاندن مسیر سریع اگرچه سبب افزایش مختصر ناحیه پنهان شد ولی این تاثیر معنی دار نبود. در واقع بعد از سوزاندن مسیر سریع الگوی تغییرمنحنی پنهان هیچ تفاوتی با قبل از سوزاندن پیدا نکرد و تاثیر سوزاندن در افزایش زمان تحریک ناپذیری تحت تاثیر ضربه پنهان همچنان دیده شد. تمامی این یافته‌ها می‌تواند تایید کننده این نتیجه باشد که مسیر سریع یا زائد قدامی سلول‌های فشرده نقشی در مکانیسم ایجاد ناحیه پنهان ندارد و در واقع این مسیر سوبسترای اناتومیک ناحیه پنهان نیست. مهم‌ترین امتیاز تحقیق حاضر نسبت مطالعات قبلی در این است که علاوه بر اجرای پروتکل‌های هدایت پنهان و ضربه پنهان اثرات حذف مسیر سریع را بر روی منحنی فیریلاسیون دهلیزی مطالعه نمود. در واقع نتایج تحقیق حاضر نشان میدهد که نقش مسیر سریع در پدیده هدایت پنهان و فیریلاسیون دهلیزی حداقل است، ولی سؤال اصلی این است که در فیریلاسیون دهلیزی امواج با سرعتی حرکت می‌کنند که تنها می‌توانند از مسیر سریع عبور کرده و بنابر این باید مسیر سریع سوبسترای اناتومیک هدایت امواج در طول فیریلاسیون دهلیزی باشد در صورتی که تحقیق حاضر نشان داد که این مسیر نقشی در پدیده هدایت پنهان و کنترل ضربانات بطن‌ها در زمان تاکی اریتمی‌های فوق بطنی داشته باشد [۲] در صورتی که در ضربانات طبیعی قلب، این ضربانات به هیچ عنوان از مسیر آهسته عبور نمی‌کنند.

این تنافق را می‌توان بدین صورت توجیه نمود که مسیر سریع اگرچه دارای خاصیت هدایت کوتاه و تحریک ناپذیری طولانی است و می‌تواند امواج با سرعت آهسته را از خود عبور دهد ولی همچنین آستانه تحریک ناپذیری بالایی دارد [۹] و این به این معنی است که این مسیر توانایی هدایت امواج را در

ضرباتن بطن‌ها داشته باشد. بنابراین این تحقیق برای نخستین بار نشان داد که مسیر سریع اگر چه سوبسترای اناتومیک ناحیه پنهان و هدایت پنهان نیست ولی در مکانیسم محافظتی گره در مشخص شدن تعداد ضرباتن بطن‌ها در طول تاکی ارتیمی‌های دهليزی نقش کمکی را بازی می‌کند.

حال حرکت به جلو در مسیر اهسته سبب پدیده برخورد امواج summation می‌شود. بنابراین مطابق با این مدل در طول فیبریلاسیون دهليزی هم مسیر اهسته و هم مسیر سریع در هدایت امواج، سرعت ضرباتن بطن‌ها و پدیده هدایت پنهان موثر هستند. نقش اصلی به عهده مسیر آهسته است ولی مسیر سریع نیز میتواند نقش تسهیلی در هدایت امواج و سرعت

References

- [1] Billette J, Nattel S. Dynamic behavior of the atrioventricular node: a functional model of interaction between recovery, facilitation, and fatigue. *J Cardiovasc Electrophysiol.* 1994;5(1):90-102.
- [2] Blanck Z, Dhala AA, Sra J, Deshpande SS, Anderson AJ, Akhtar M, Jazayeri MR. Characterization of atrioventricular nodal behavior and ventricular response during atrial fibrillation before and after a selective slow-pathway ablation. *Circulation.* 1995;15;91(4):1086-94.
- [3] Hirao K, Scherlag BJ, Poty H, Otomo K, Tondo C, Antz M, Patterson E, Jackman WM, Lazzara R. Electrophysiology of the atrio-AV nodal inputs and exits in the normal dog heart: radiofrequency ablation using an epicardial approach. *J Cardiovasc Electrophysiol.* 1997;8(8):904-15.
- [4] Langendorf R, Pick A, Edelist A, Katz LN. Experimental demonstration of concealed AV conduction in the human heart. *Circulation.* 1965 Sep;32(3):386-93.
- [5] Lin LJ, Billette J, Medkour D, Reid MC, Tremblay M, Khalife K: Properties and substrate of slow pathway exposed with a compact node targeted fast pathway ablation in rabbit atrioventricular node. *J Cardiovasc Electrophysiol* 2001;12:479-486 .
- [6] Liu S, Olsson SB, Yang Y, Hertervig E, Kongstad O, Yuan S. Concealed conduction and dual pathway physiology of the atrioventricular node. *J Cardiovasc Electrophysiol.* 2004;15(2):144-9.
- [7] Mazgalev TN, Ho SY, Anderson RH. Anatomic-electrophysiological correlations concerning the pathways for atrioventricular conduction. *Circulation.* 2001;5;103(22):2660-7.
- [8] Mazgalev TN, Tchou PJ: Atrial-AV Nodal Electrophysiology : A View from the Millennium. Futura Publishing Co., Armonk, NY, 2000, pp:1-492.
- [9] Patterson E, Scherlag BJ. Longitudinal dissociation within the posterior AV nodal input of the rabbit: a substrate for AV nodal reentry. *Circulation.* 1999; 5-12;99(1):143-55.
- [10] Reid MC, Billette J, Khalife K, Tadros R. Role of compact node and posterior extension in direction-dependent changes in atrioventricular nodal function in rabbit. *J Cardiovasc Electrophysiol.* 2003;14(12):1342-50.
- [11] Talajic M, Nayebpour M, Jing W, Nattel S. Frequency-dependent effects of diltiazem on the atrioventricular node during experimental atrial fibrillation. *Circulation.* 1989 Aug;80(2):380-9.
- [12] Xu B, Billette J, Lavallée M. Concealed conduction in nodal dual pathways: depressed conduction, prolonged refractoriness, or reset excitability cycle? *Heart Rhythm.* 2006;3(2):212-21.
- [13] Zhang Y, Mazgalev TN. Ventricular rate control during atrial fibrillation and AV node modifications: past, present, and future. *Pacing Clin Electrophysiol.* 2004;27(3):382-93. Review.